

# Osnova

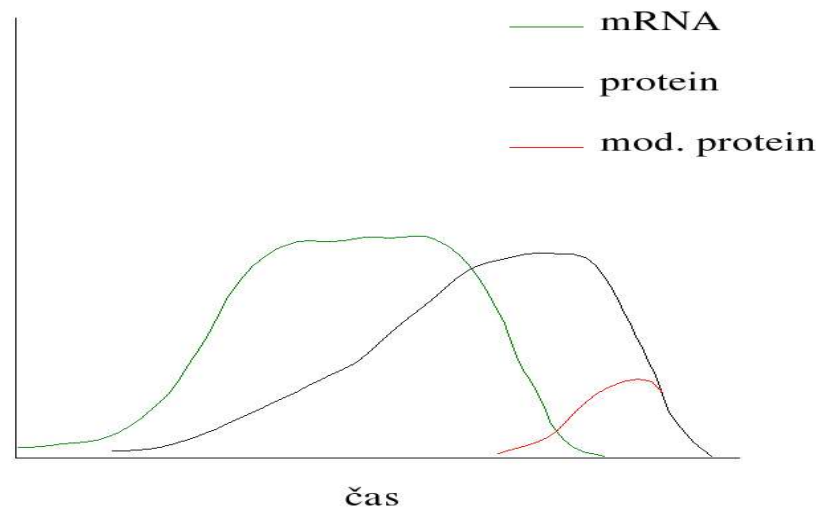
- Proteomika
  - 2-D gely
  - Hmotnostní spektrometrie
  - Proteinová pole (protein array)

# GENOM, TRANSKRIPTOM, PROTEOM, METABOLOM

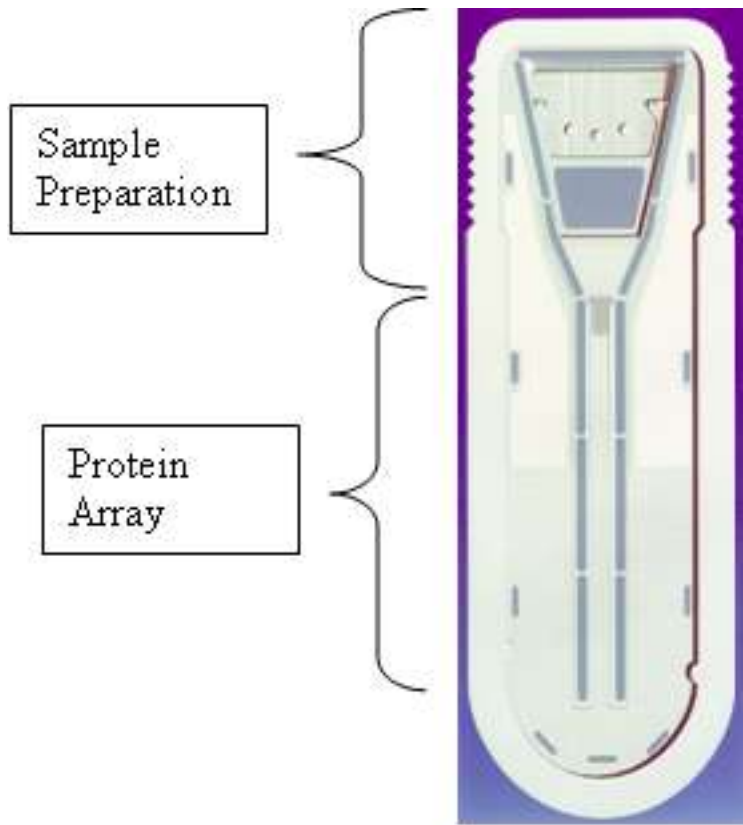
G	Sekvence DNA	statická data	sekvenátor
T	Populace mRNA	dynamická data	microarray
P	Populace proteinů	dynamická data	2-D gely, MS
M	Populace molekul	vysoce dyn. data	chromatografie spektrometrie

[http://www.expasy.org/tools/findmod/findmod\\_masses.html](http://www.expasy.org/tools/findmod/findmod_masses.html)

## Proč nestačí “microarray” ?



GENOMIKA <-> PROTEOMIKA



Komerční model  
proteinového čipu pro  
analýzu vzorků krve

# Princip identifikace proteinů

Běžné charakteristiky celých molekul nedokážou jednoznačně identifikovat protein

- molekulová hmotnost
- zastoupení aminokyselin
- elektrický náboj (pl)

N		NAME	%
237795	L	Leu	9.4
199138	A	Ala	7.8
192381	G	Gly	7.6
191458	S	Ser	7.5
175970	V	Val	6.9
154267	E	Glu	6.1
146184	T	Thr	5.7
137735	I	Ile	5.4
135069	K	Lys	5.3
133582	R	Arg	5.2
124916	D	Asp	4.9
115228	P	Pro	4.5
105957	F	Phe	4.1
102780	N	Asn	4.0
95080	Y	Tyr	3.7
93296	Q	Gln	3.6
56348	M	Met	2.2
50486	H	His	1.9
37544	C	Cys	1.4
36530	W	Trp	1.4
3202	X	-	0.1

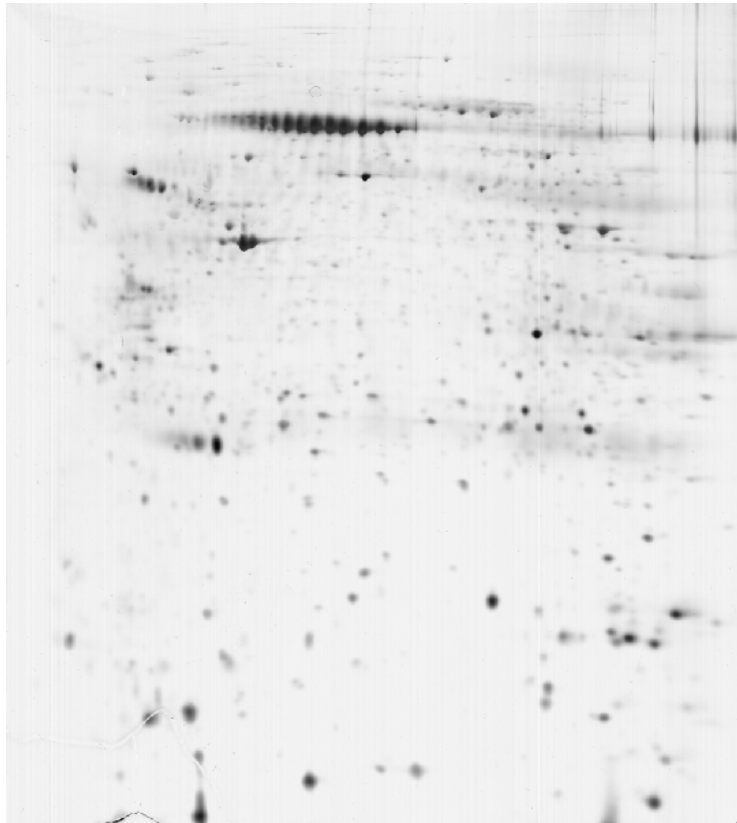
Zastoupení aminokyselin v sekvencích 10000 proteinů z databáze OWL

## Výsledky hledání pomocí aminokyselinového složení, pl a Mw

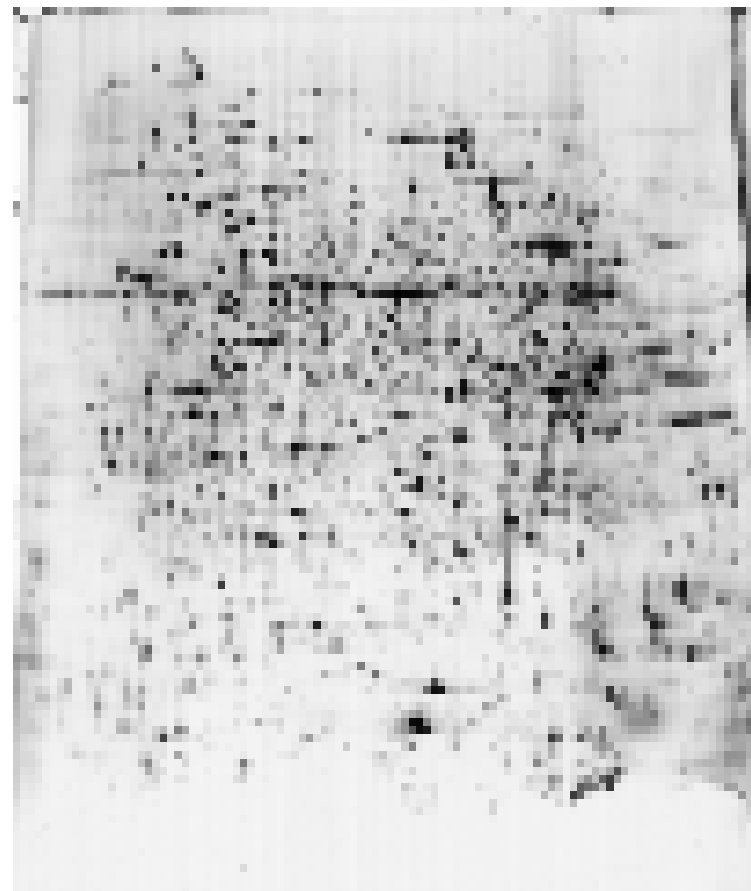
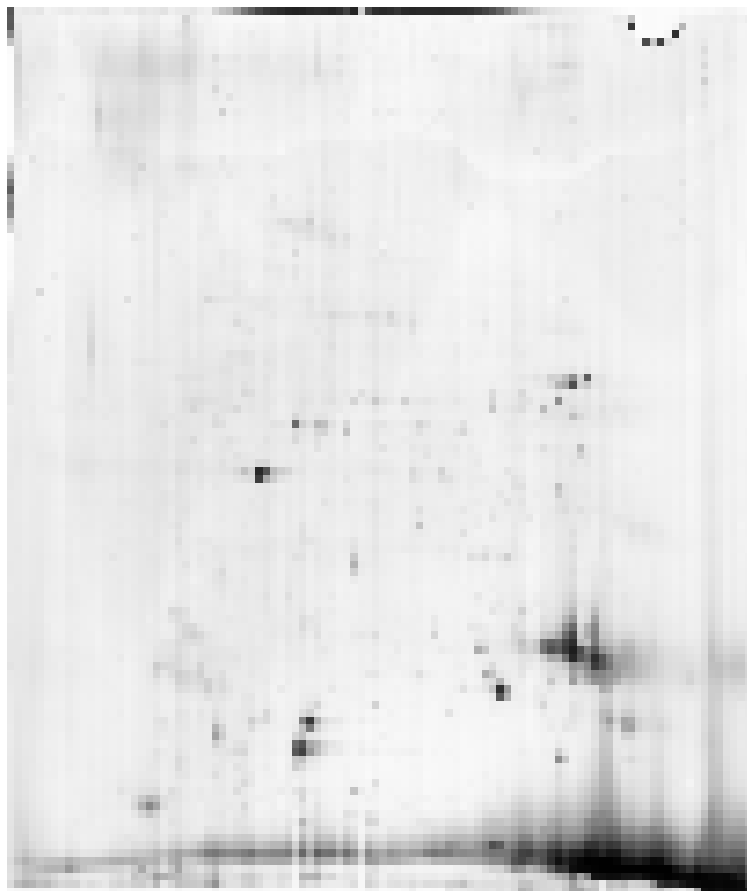
Rank	Score	Protein	(pl	Mw)	Description
=====					
1	5	GRIA4_RAT	7.59	98421	Glutamate receptor 4.
2	5	GRIA4_MOUSE	7.59	98295	Glutamate receptor 4.
3	6	GRIA4_HUMAN	8.21	98489	Glutamate receptor 4.
4	6	POL1_ARMVN	6.44	71899	NTP-binding protein (Potential).
5	7	TYDC4_PETCR	6.24	56771	Tyrosine decarboxylase 4 (EC 4.1.1.25).
6	7	HMCS1_CHICK	5.41	57559	Hydroxymethylglutaryl-CoA synthase,
7	7	ACOX5_CANTR	6.09	74106	Acyl-coenzyme A oxidase 5 (EC 1.3.3.6)
8	7	TYDC2_PETCR	6.29	57450	Tyrosine decarboxylase 2 (EC 4.1.1.25).
9	8	LOX1_LENCU	6.01	96639	Lipoxygenase (EC 1.13.11.12).
10	8	VIRD4_AGRTU	7.12	75950	Protein virD4.
11	8	TYDC3_PETCR	6.80	57633	Tyrosine decarboxylase 3 (EC 4.1.1.25).
12	8	ACOX3_ARATH	7.70	71909	Acyl-coenzyme A oxidase 3.

<http://www.expasy.org/tools/multiident/>

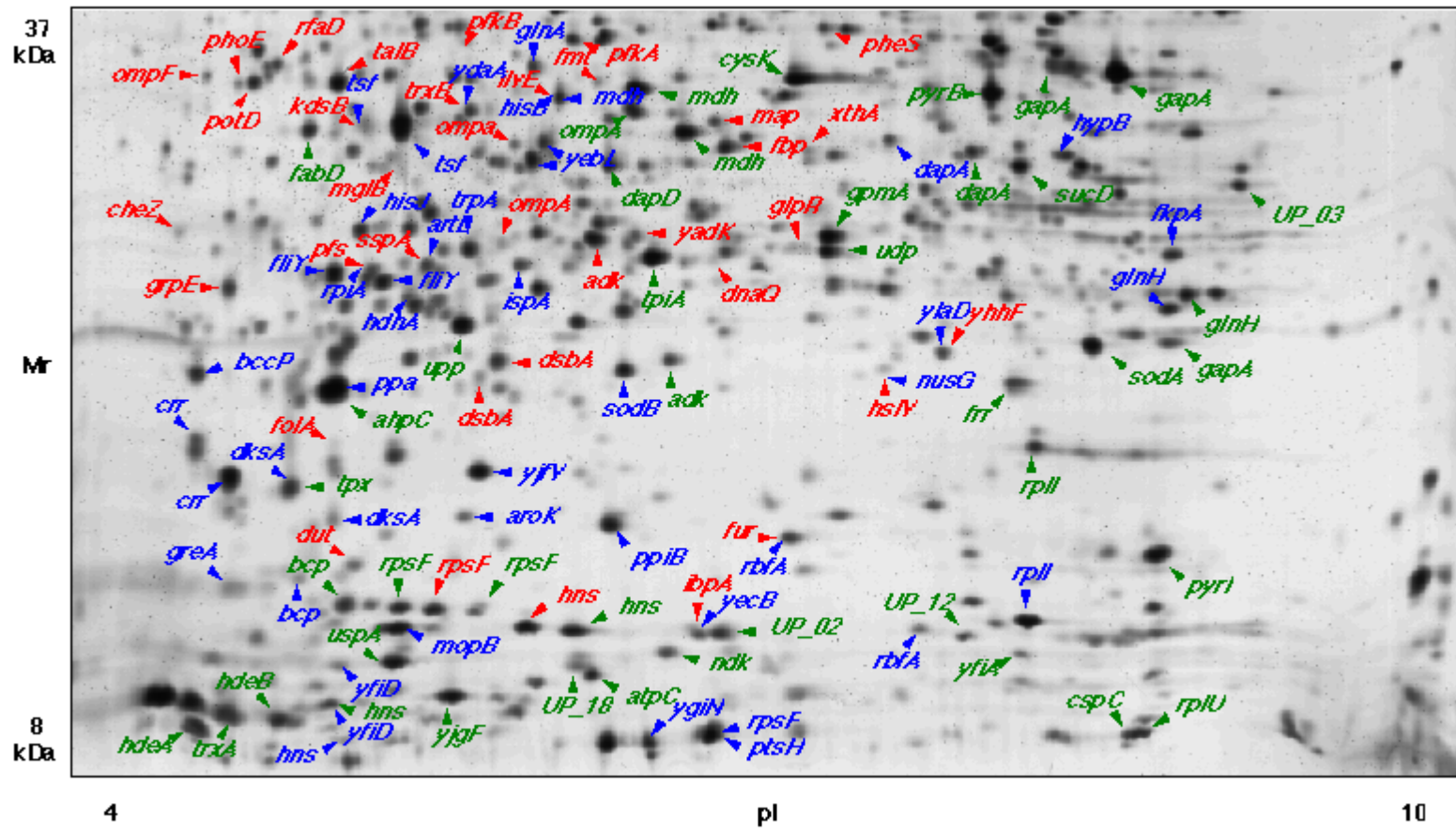
## Fibroblasts – WT v. Downuv syndrom



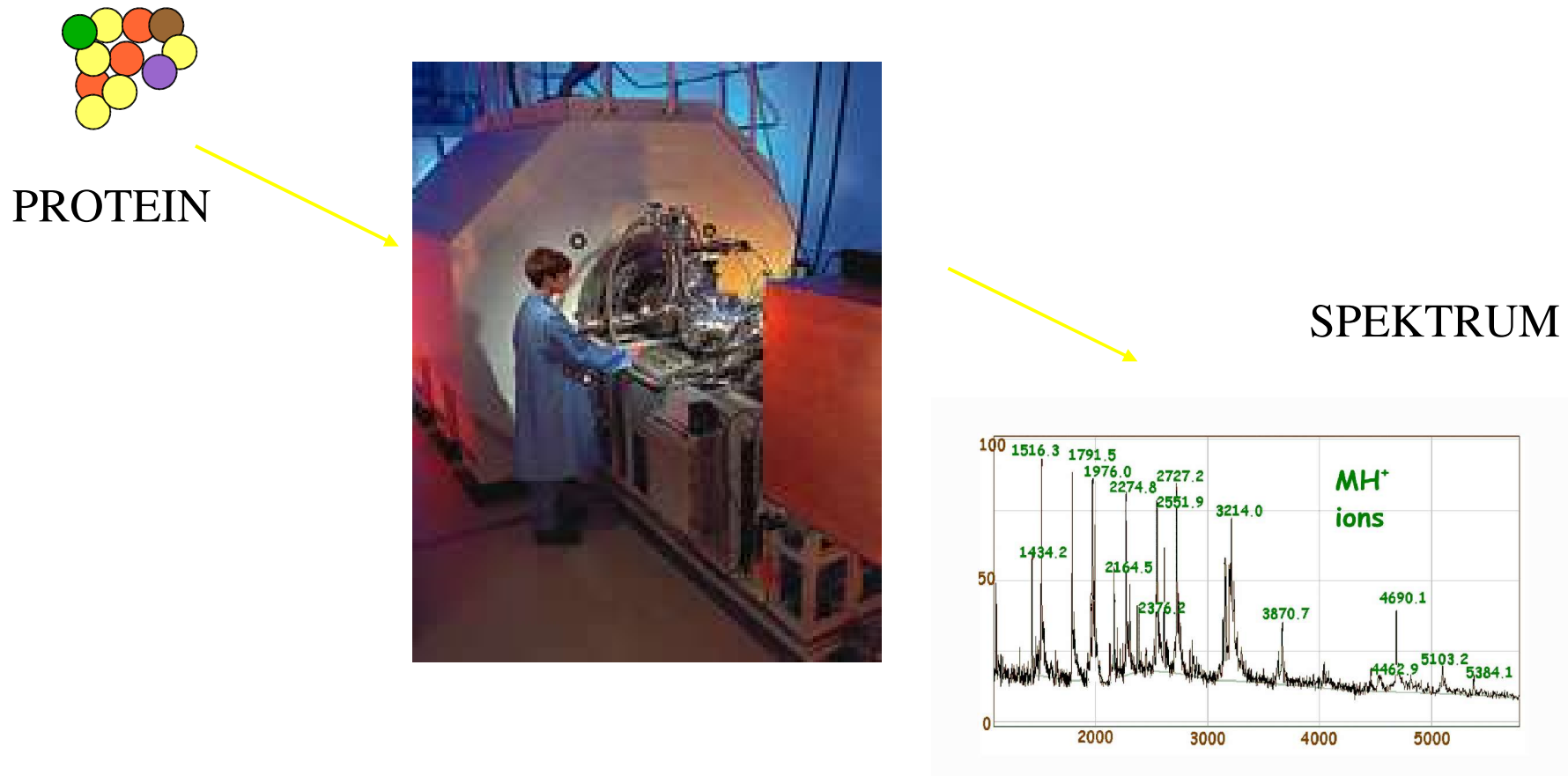
## Červené krvinky v. rostlina *Arabidopsis*



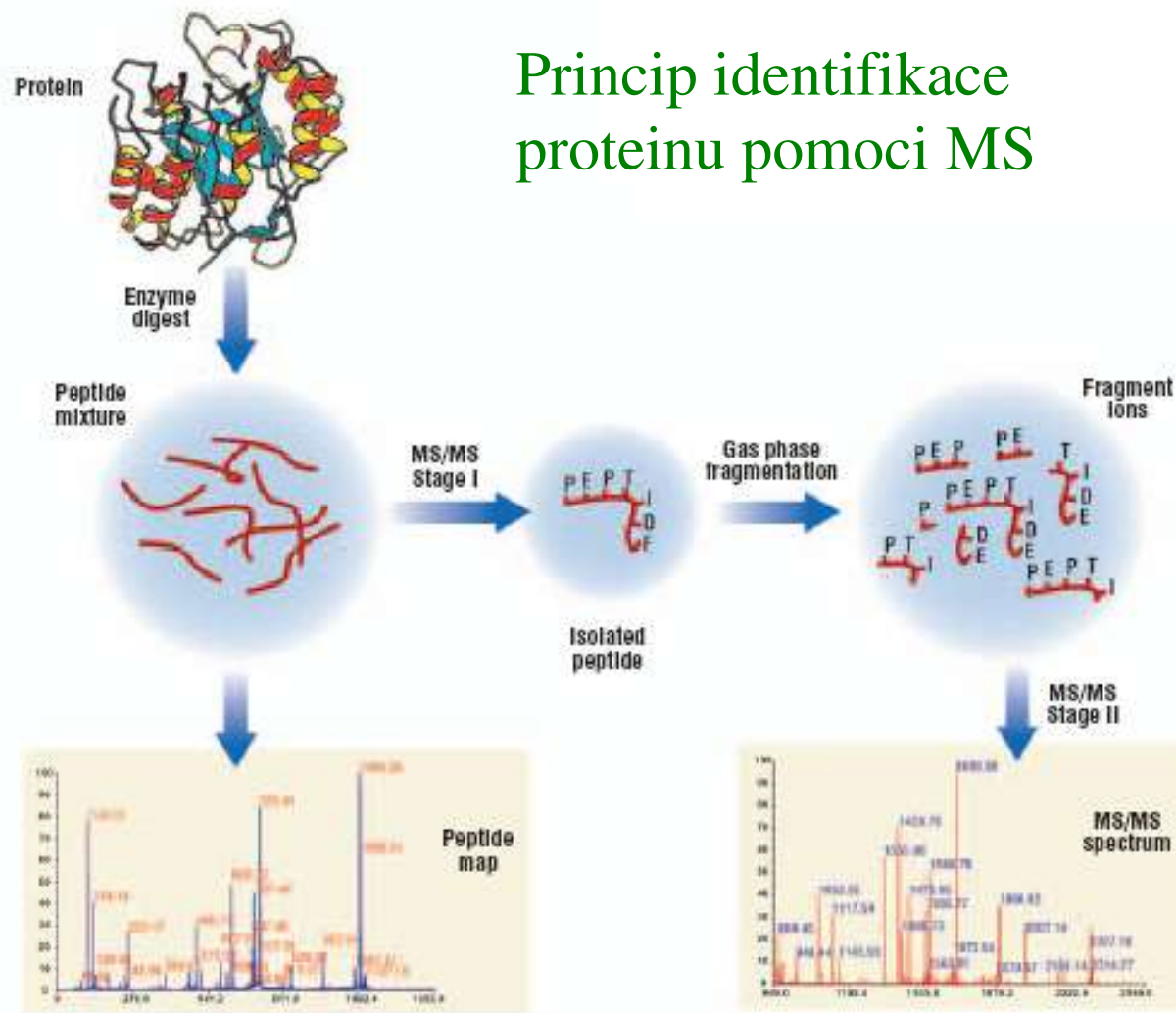
## Proteom bakterie E.coli (Mw < 38 kDa)

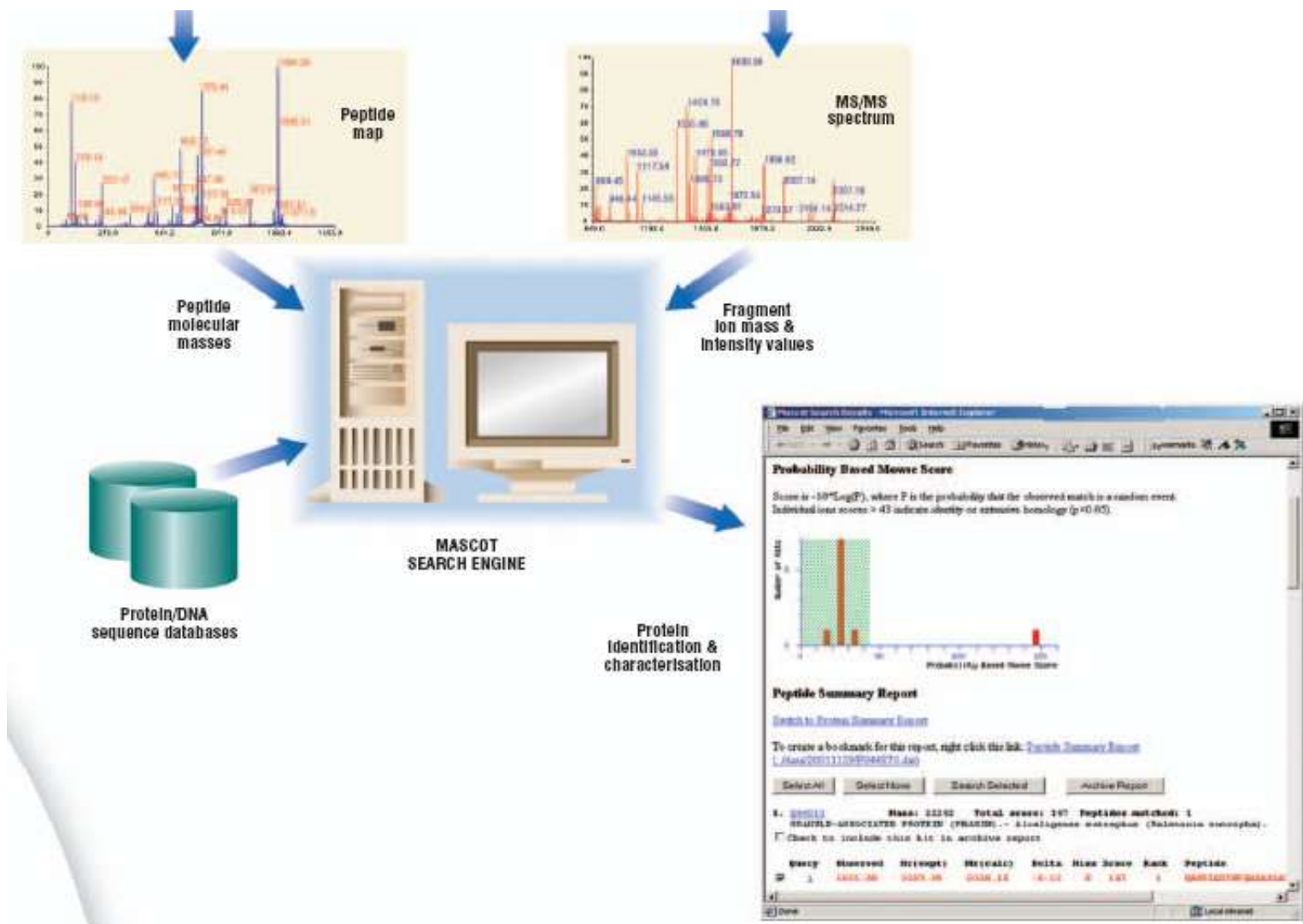


# Hmotnostná spektrometria



# Princip identifikace proteinu pomocí MS



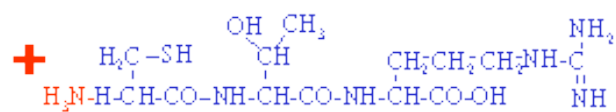
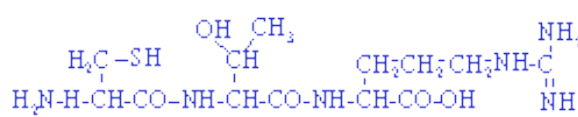
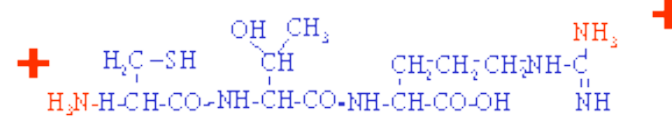
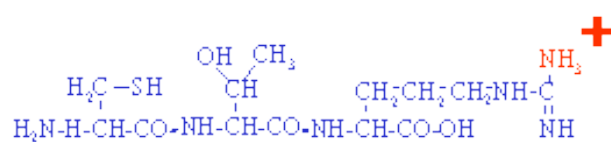
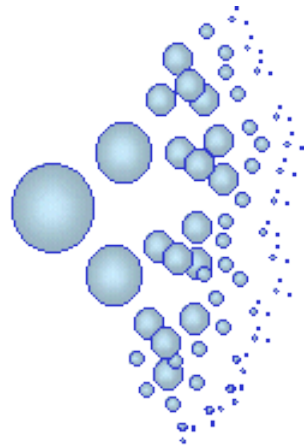


MS – Peptide Mass Fingerprinting(ESI)

MS – Peptide Mass Fingerprinting  
(MALDI-TOF)

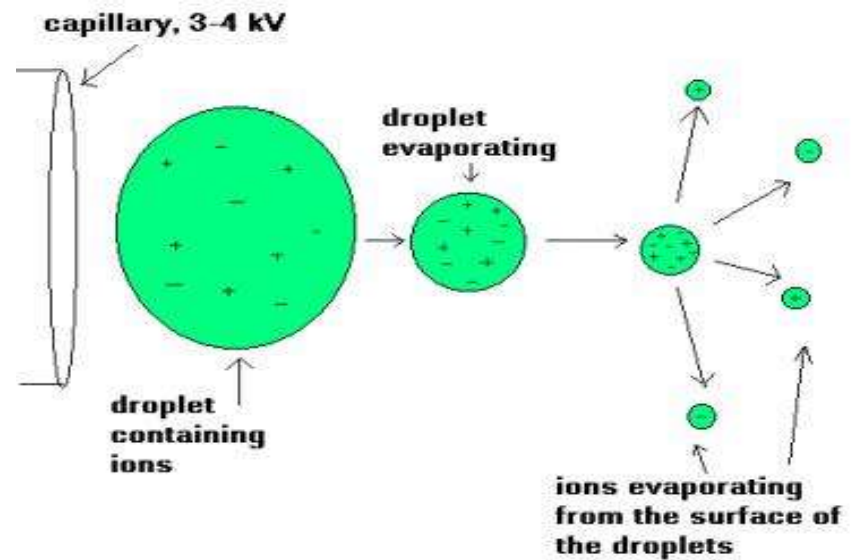
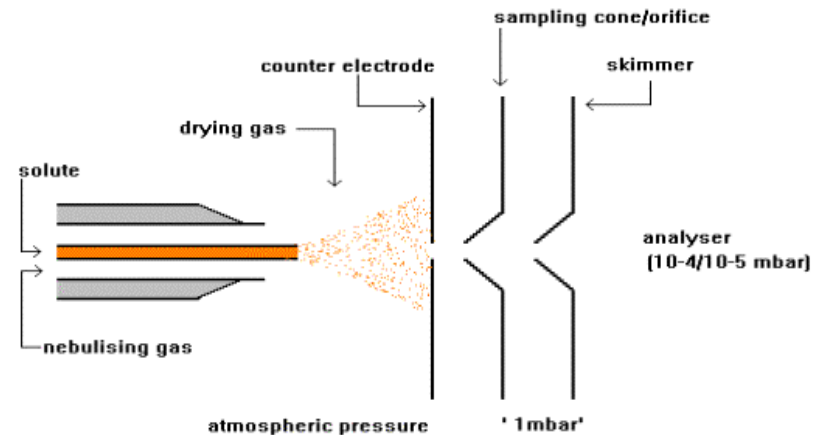
MS/MS (tandem MS) – Ion Search

IonSource.Com



# Hmotnostná spektrometria

MS (ESI)



# Hmotnostná spektrometria

leucine enkephalin

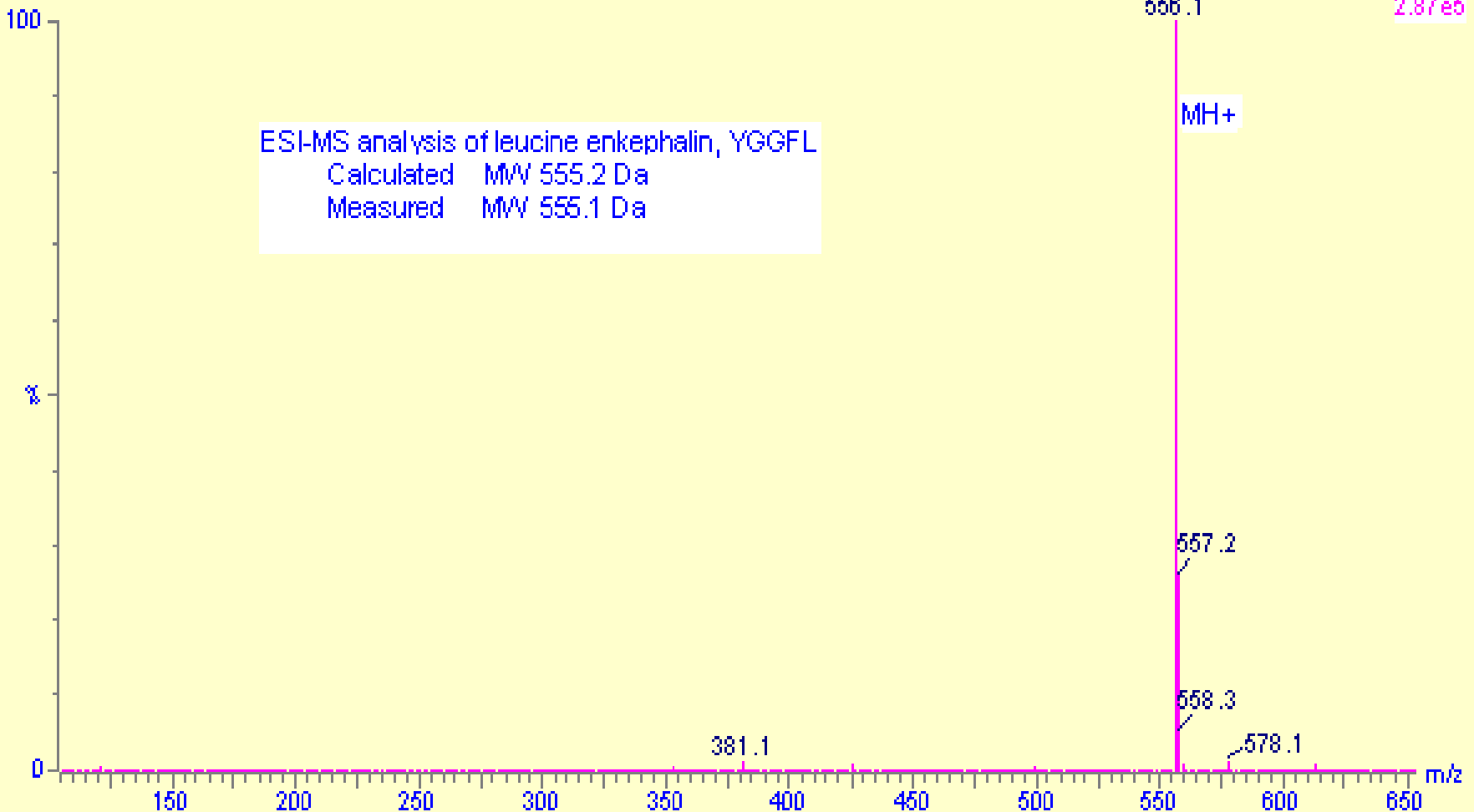
TEST01 32 (1.679) Cm (3:34)

PlatformII, BMB, The University of Leeds

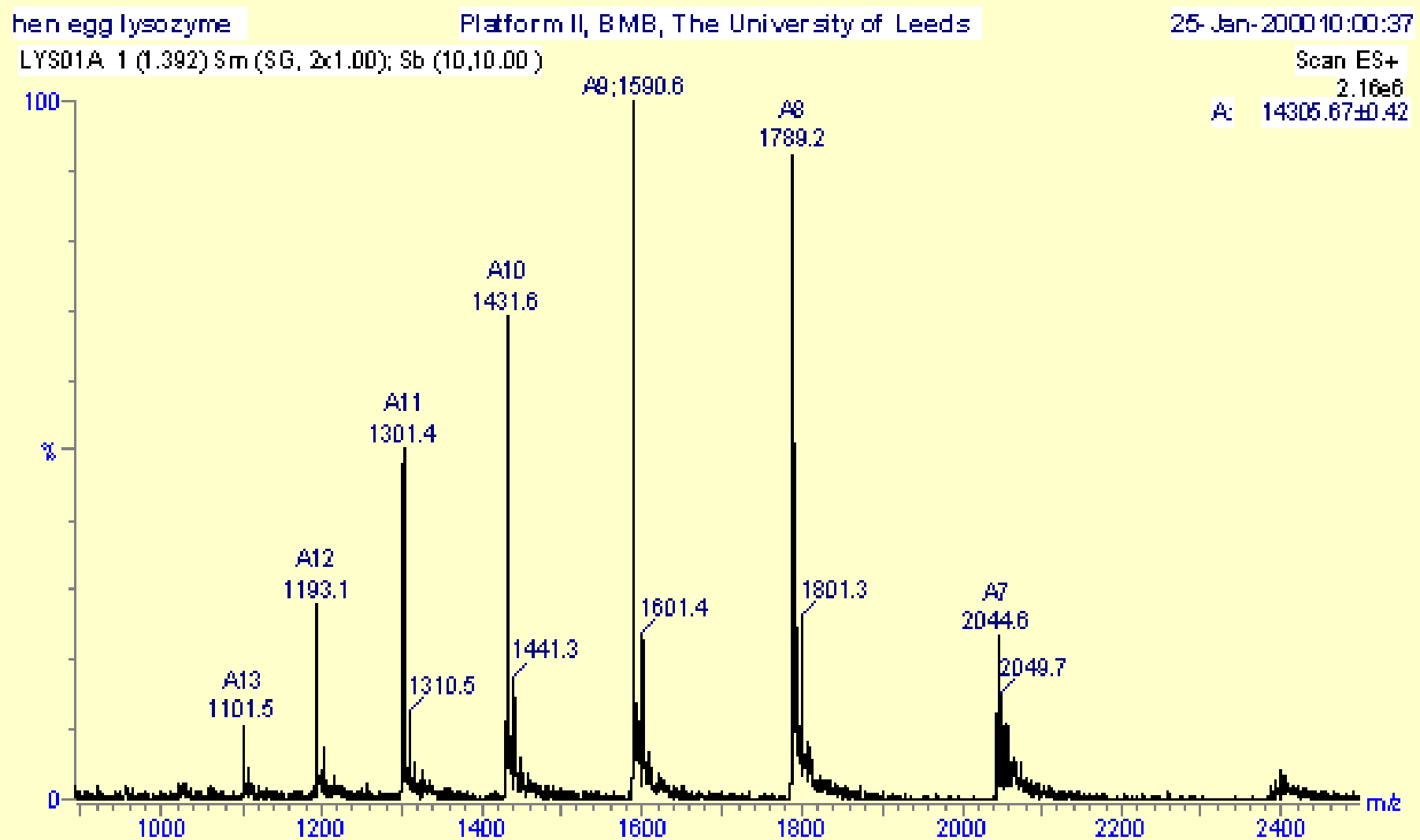
04-Oct-1999 10:12:26

Scan ES+

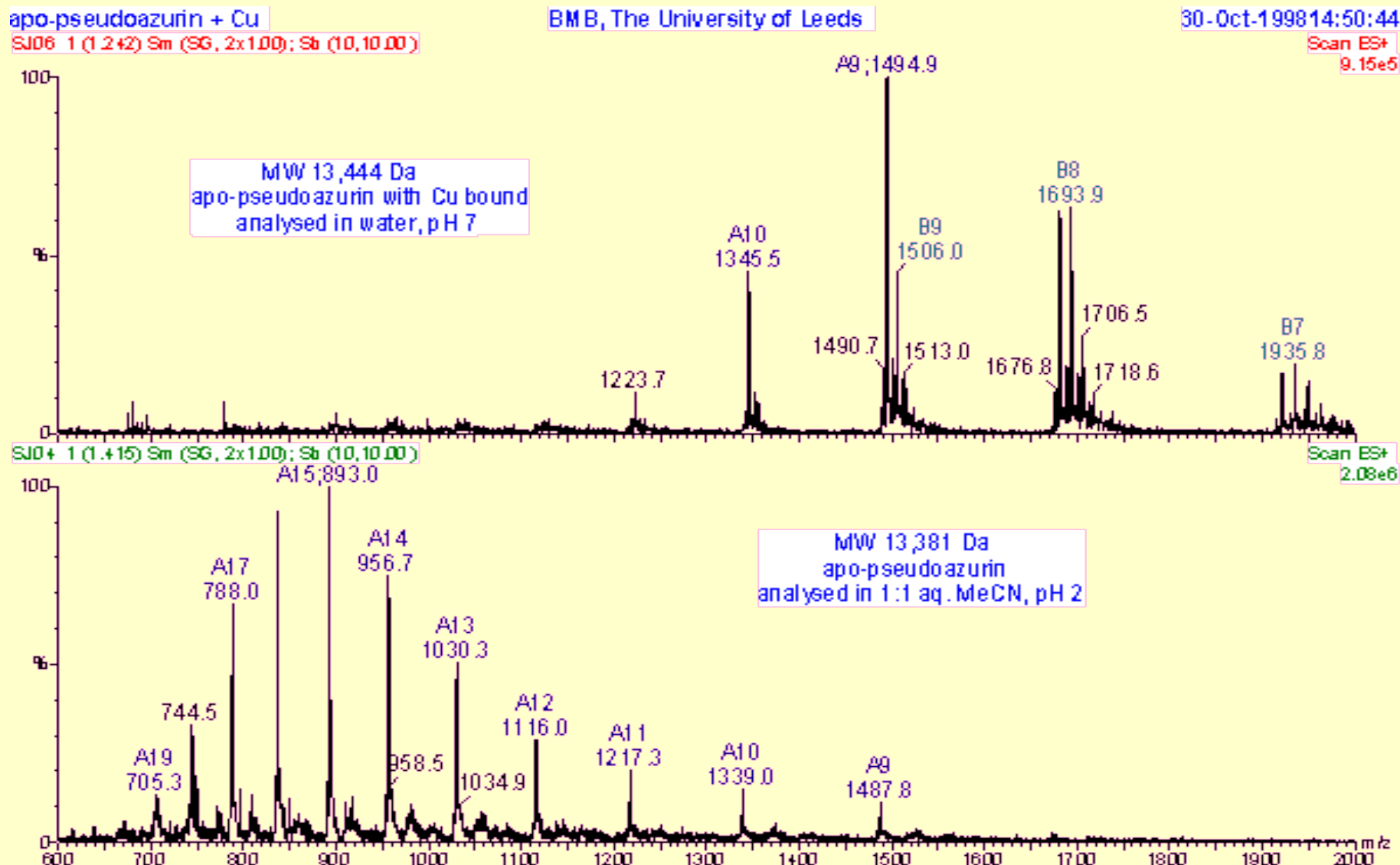
2.87e5



# Hmotnostná spektrometria

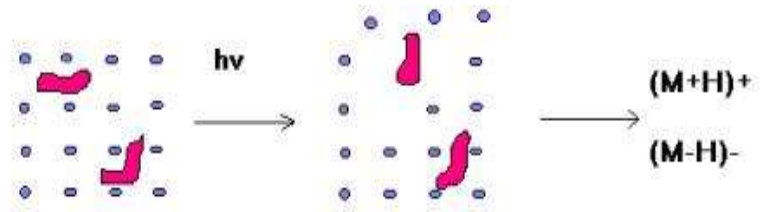


# Hmotnosná spektrometria

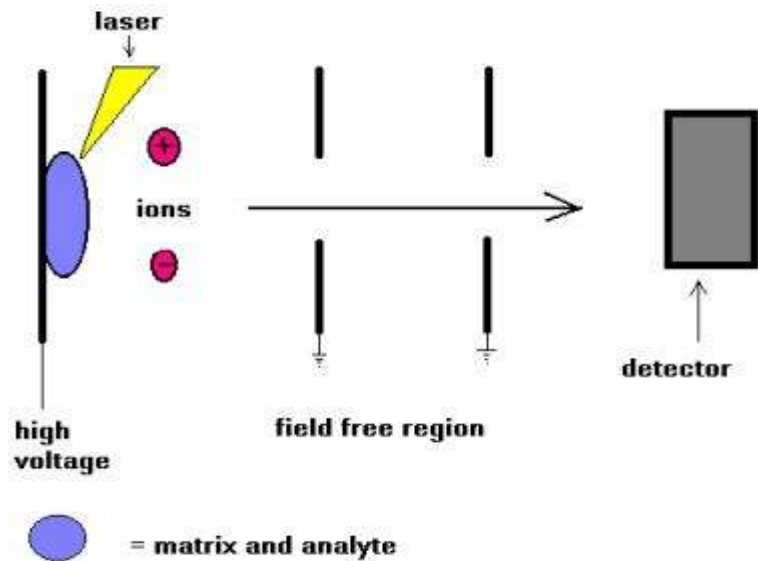


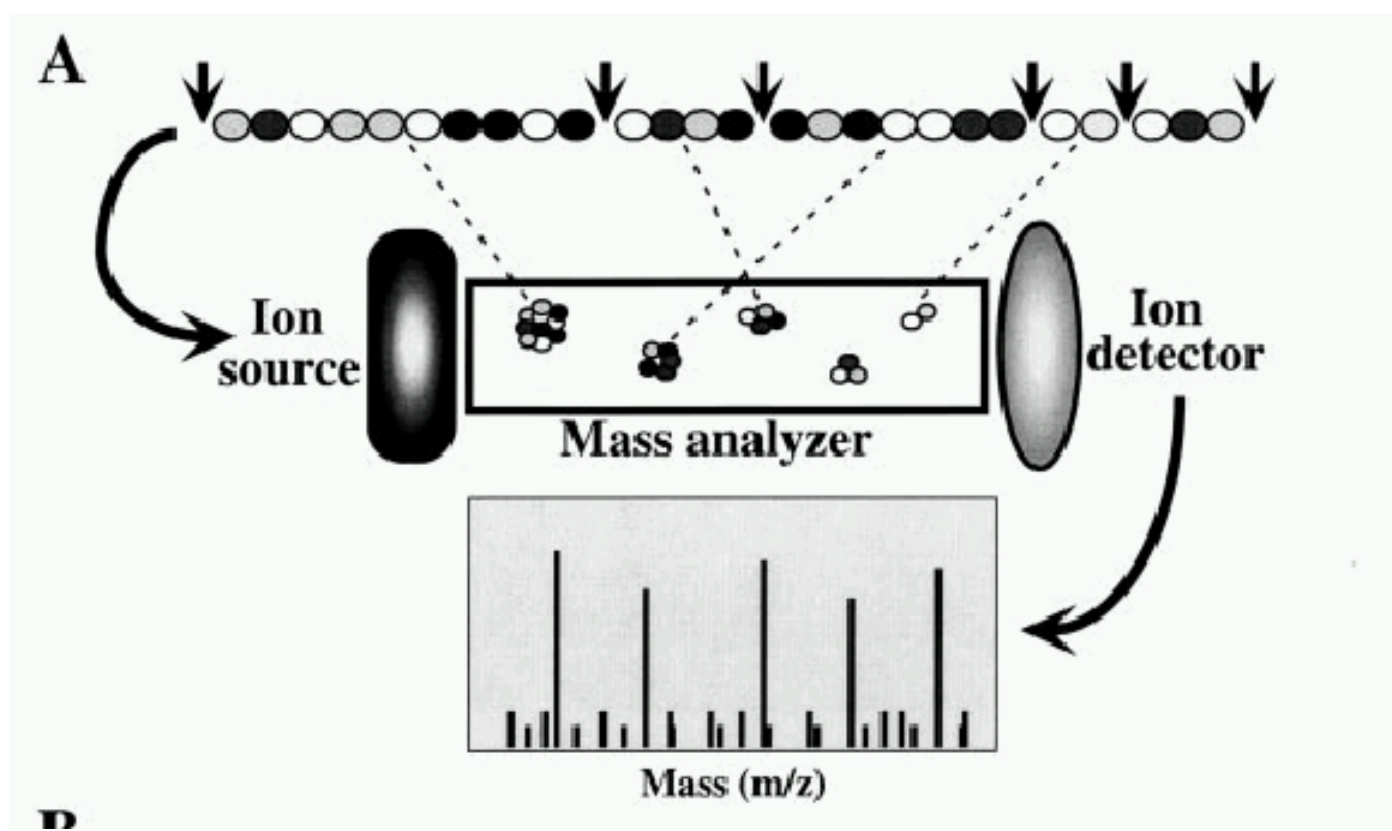
# Hmotnostná spektrometria

MS (MALDI-TOF)

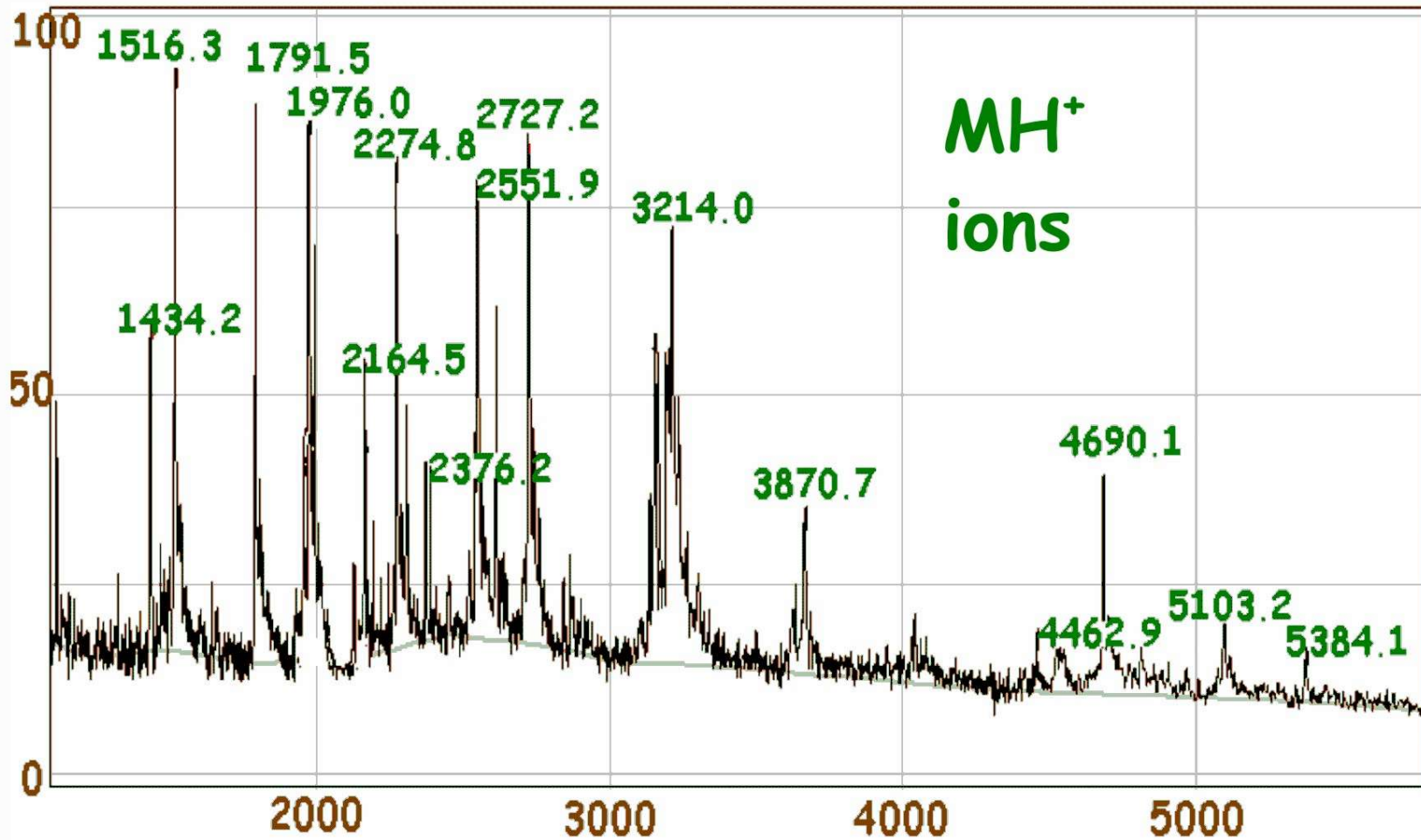


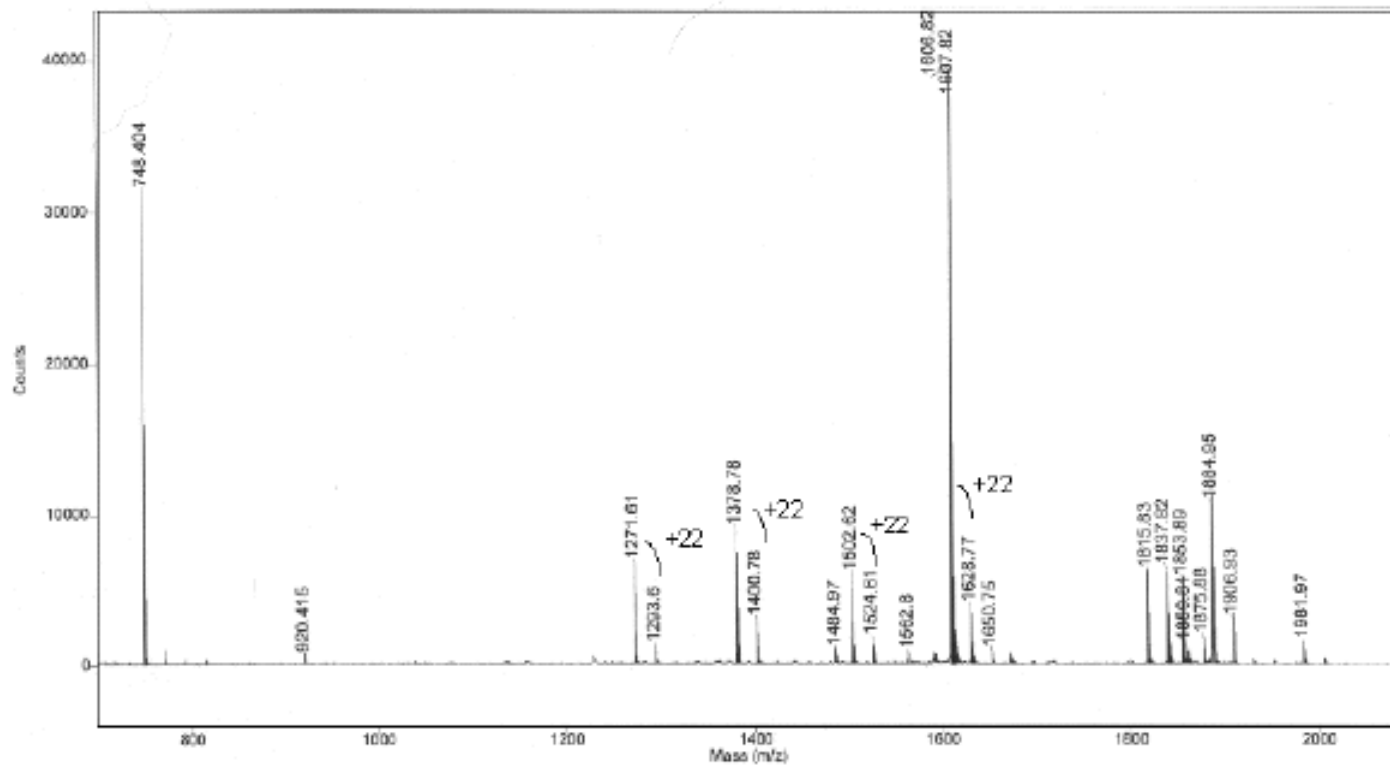
● = matrix  
● = analyte



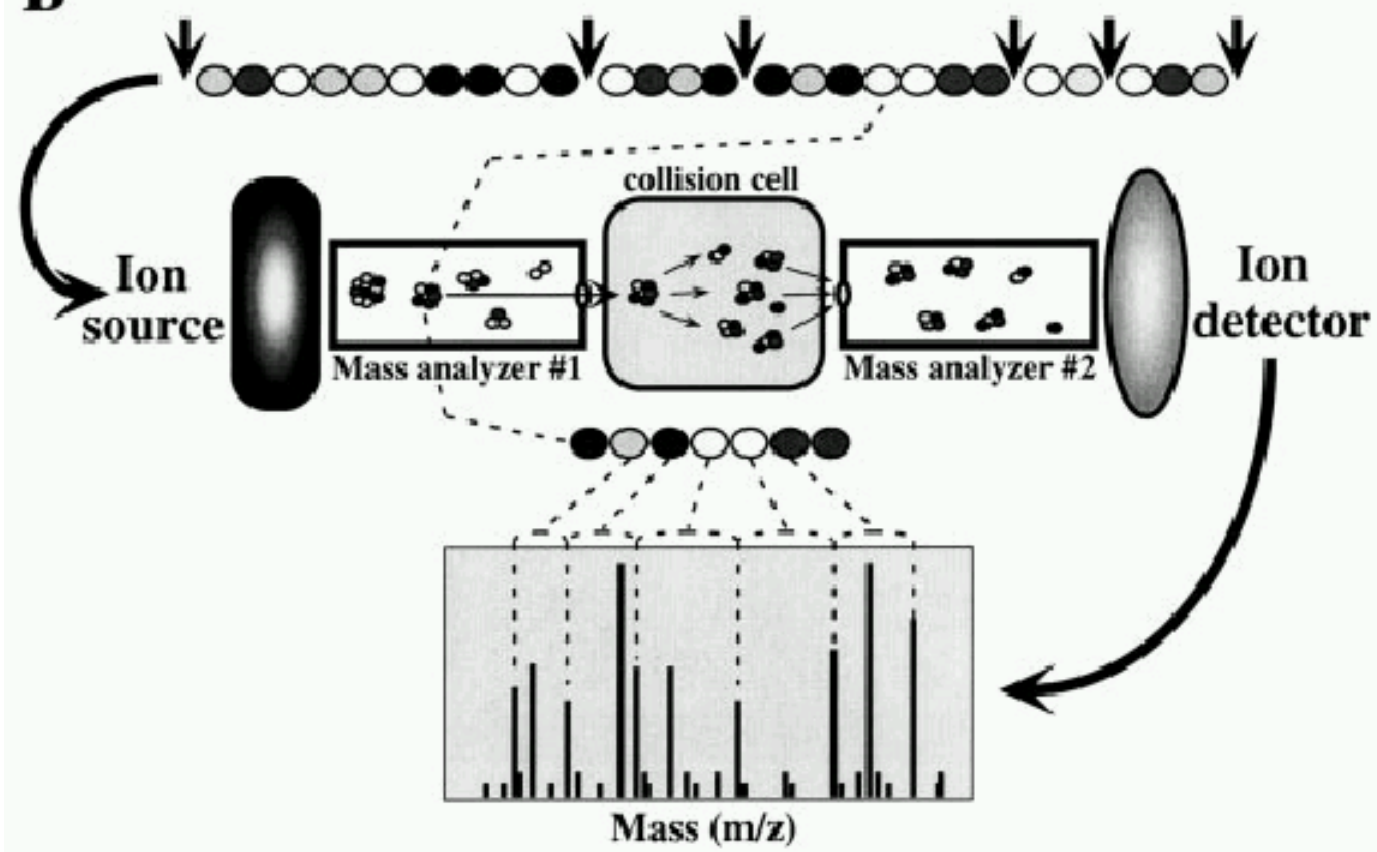


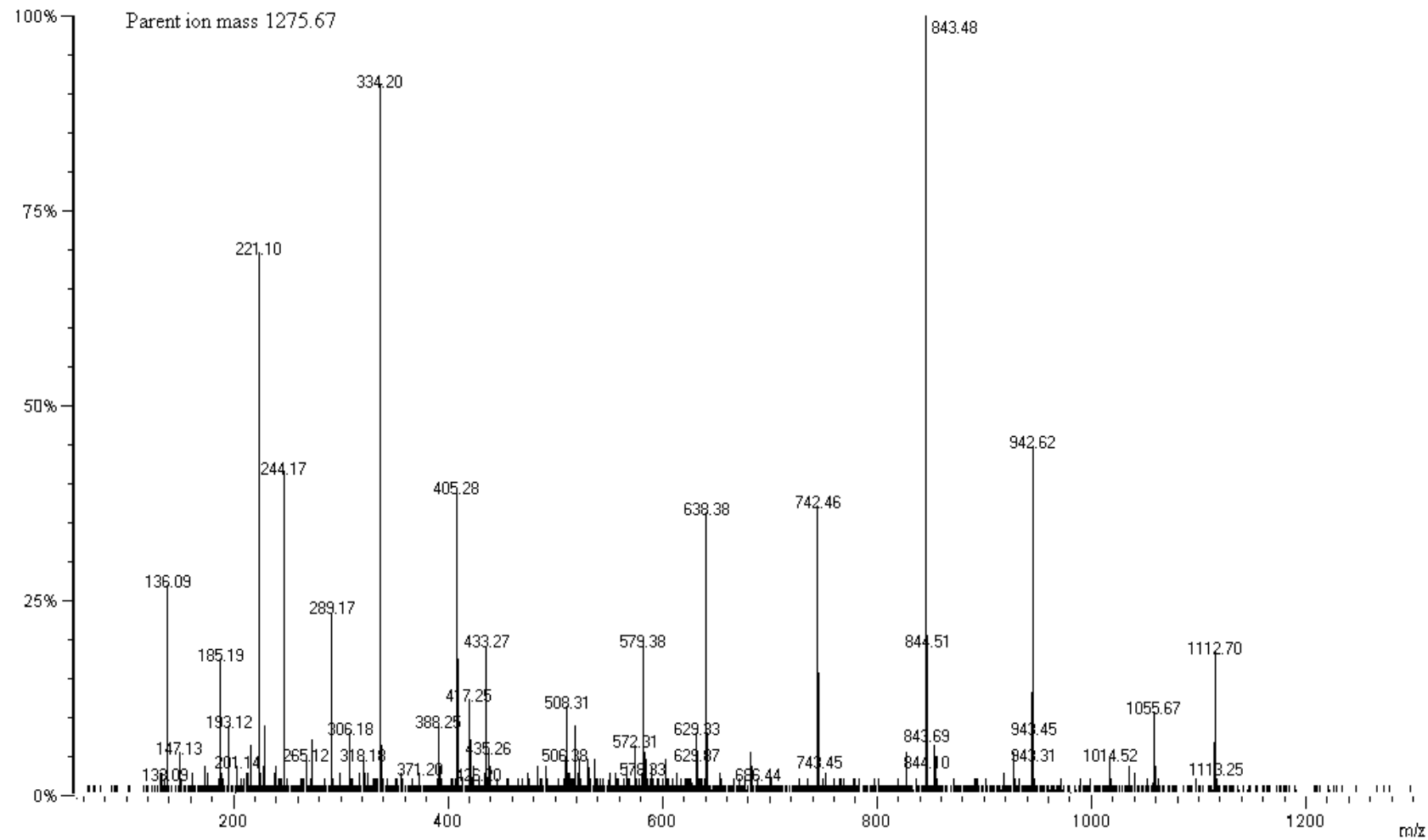
# Hmotnostná spektrometria





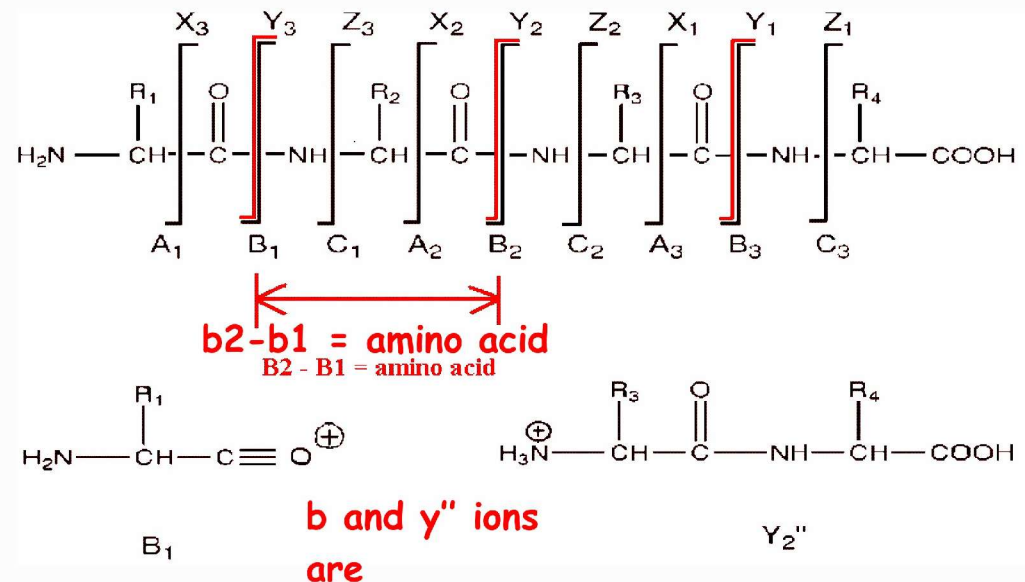
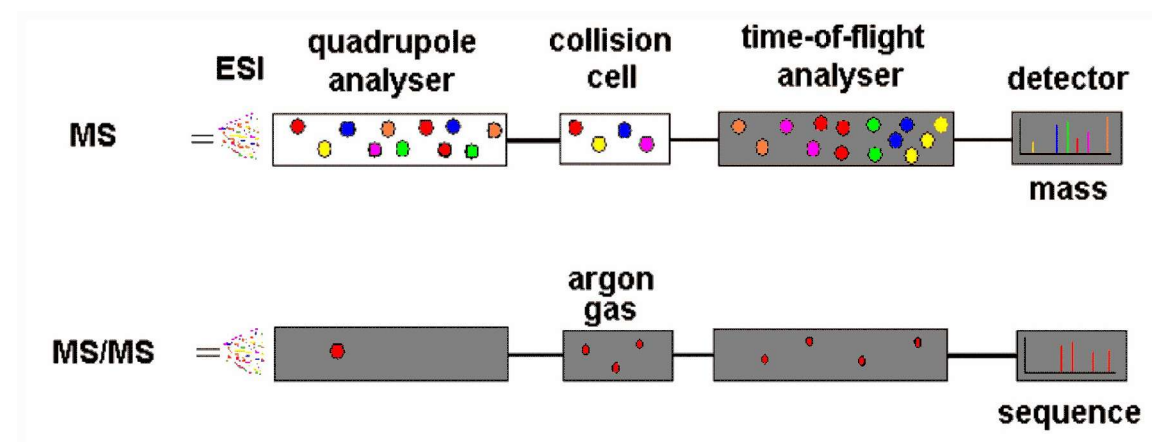
**B**



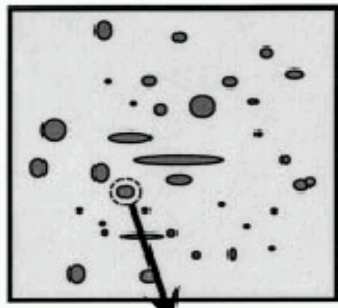


# Hmotnostná spektrometria

MS/MS (*tandem Q-TOF*)

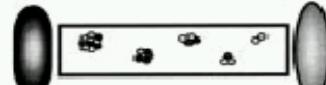


## Two Dimensional Gel Electrophoresis (2D-GE)



**Spot Excision  
and Proteolysis**

**Time-of-flight (TOF) Tandem Mass Spectrometry (MS/MS)**



peptide mass mapping



amino acid sequence from  
tandem mass spectra

**Pros:**

- speed of analysis
- more compatible with automation

**Cons:**

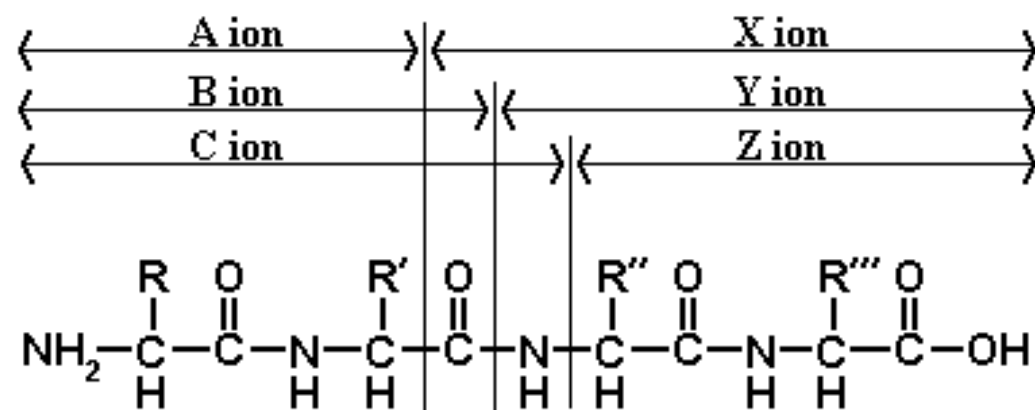
- mixture analysis
- more sensitive to quantity and quality of database information

**Pros:**

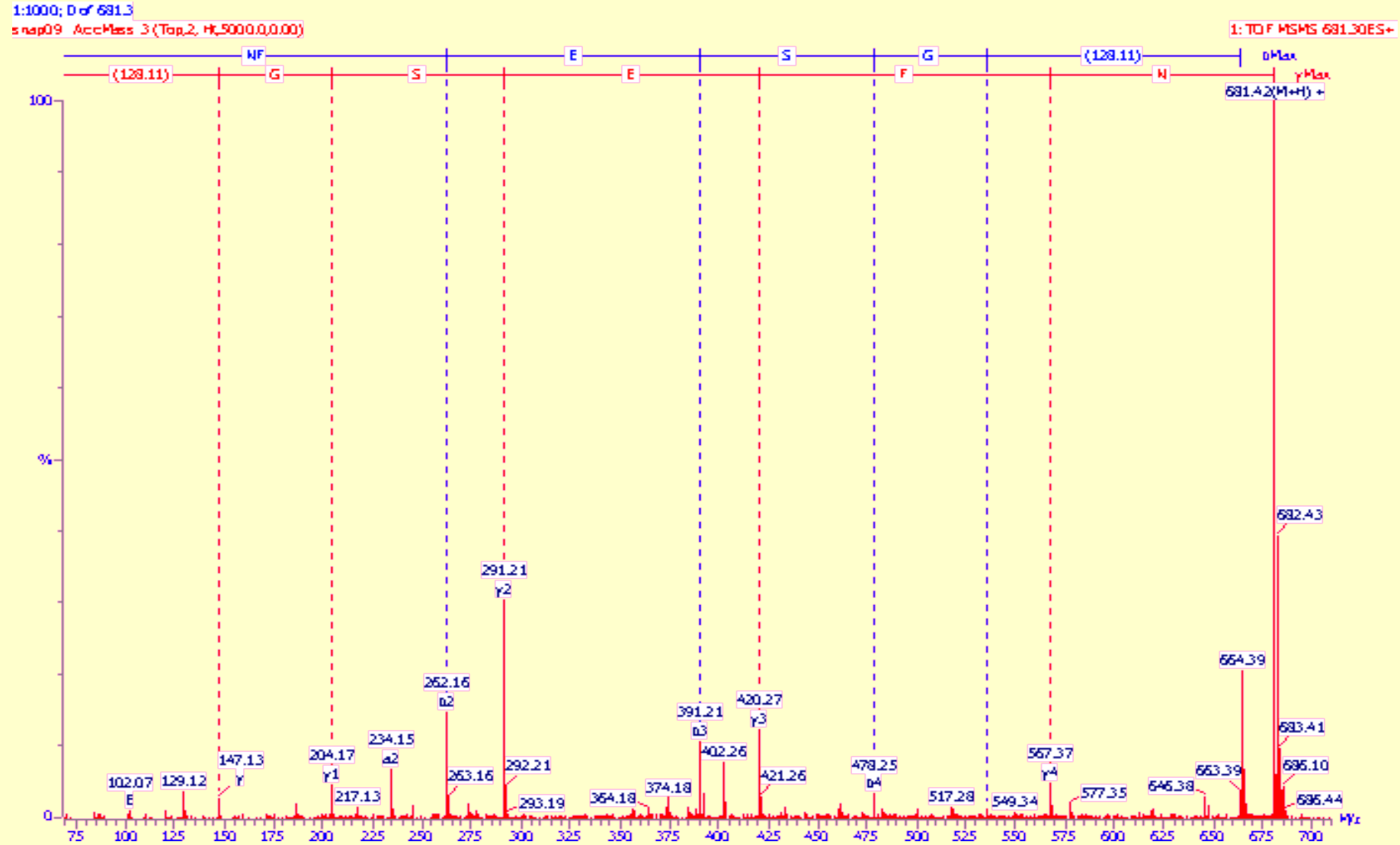
- robust for mixture analysis
- identification from limited database information

**Cons:**

- more labor intensive
- less compatible with automation



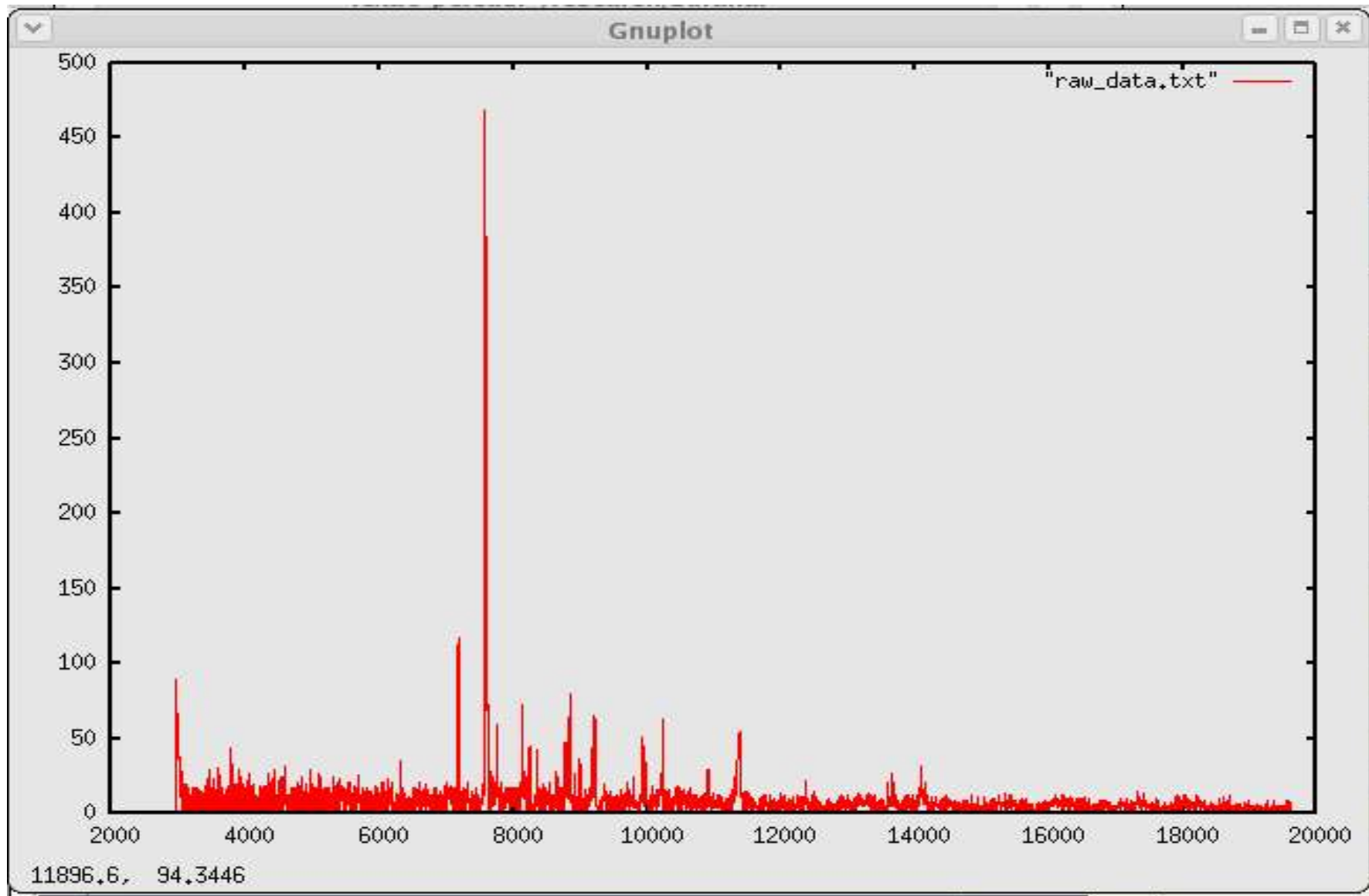
# Hmotnostná spektrometria



# Využitie MALDI pre klasifikáciu vzoriek a hodnotenie ich vzájomnej podobnosti

- \* *identifikácia píkov*
- \* *porovnanie dvoch alebo viac spektier*
- \* *zhlukovanie*

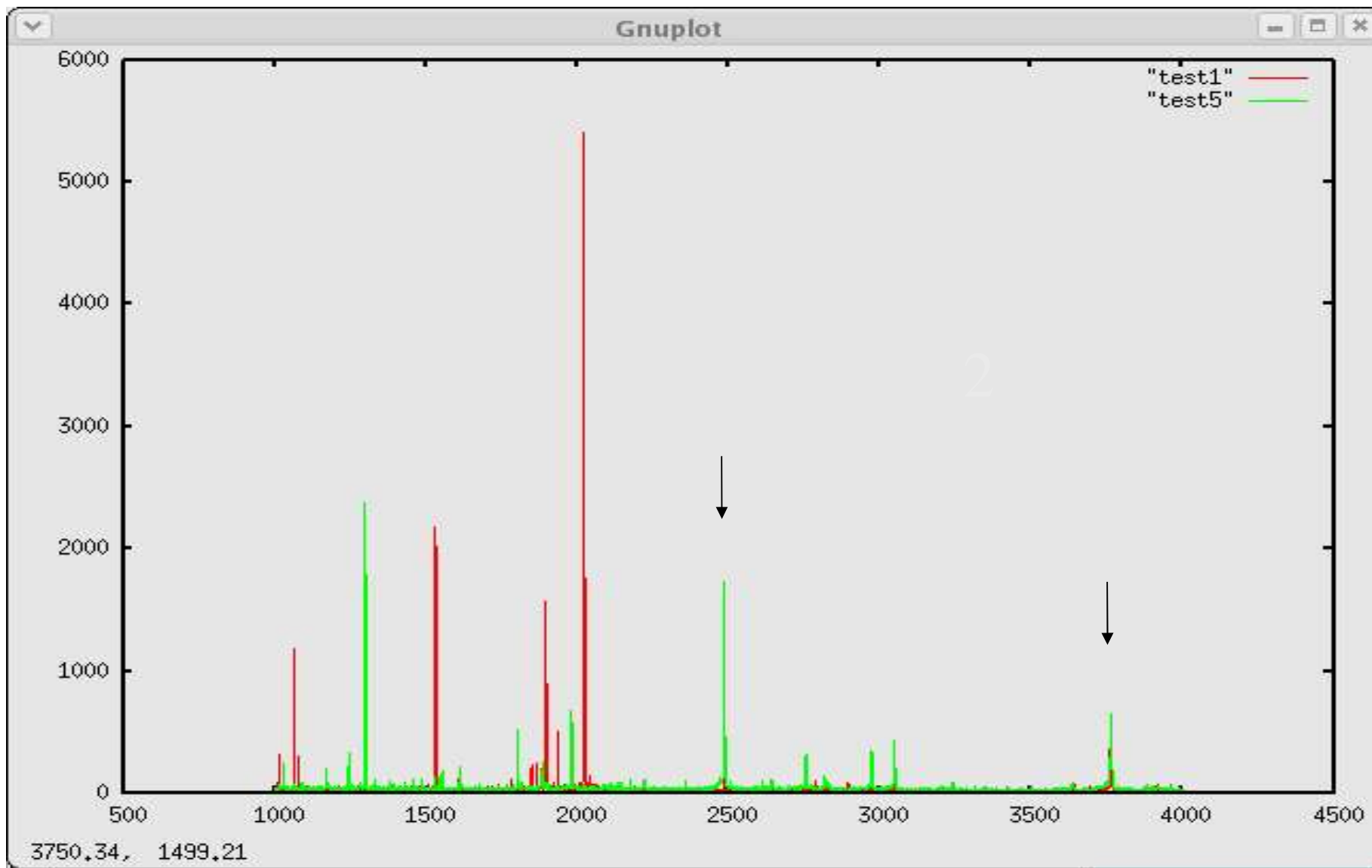
# MALDI-TOF spektrum mikrobiologickej kultúry



# Možnosti hodnotenia podobnosti spektier

- \* počet identických píkov
- \* vektorový súčin
- \* euklidovská vzdialenosť vektorov
- \* korelácia
- \* vzájomná informácia

# Možnosti hodnotenia podobnosti spektier



# Možnosti hodnotenia podobnosti spektier

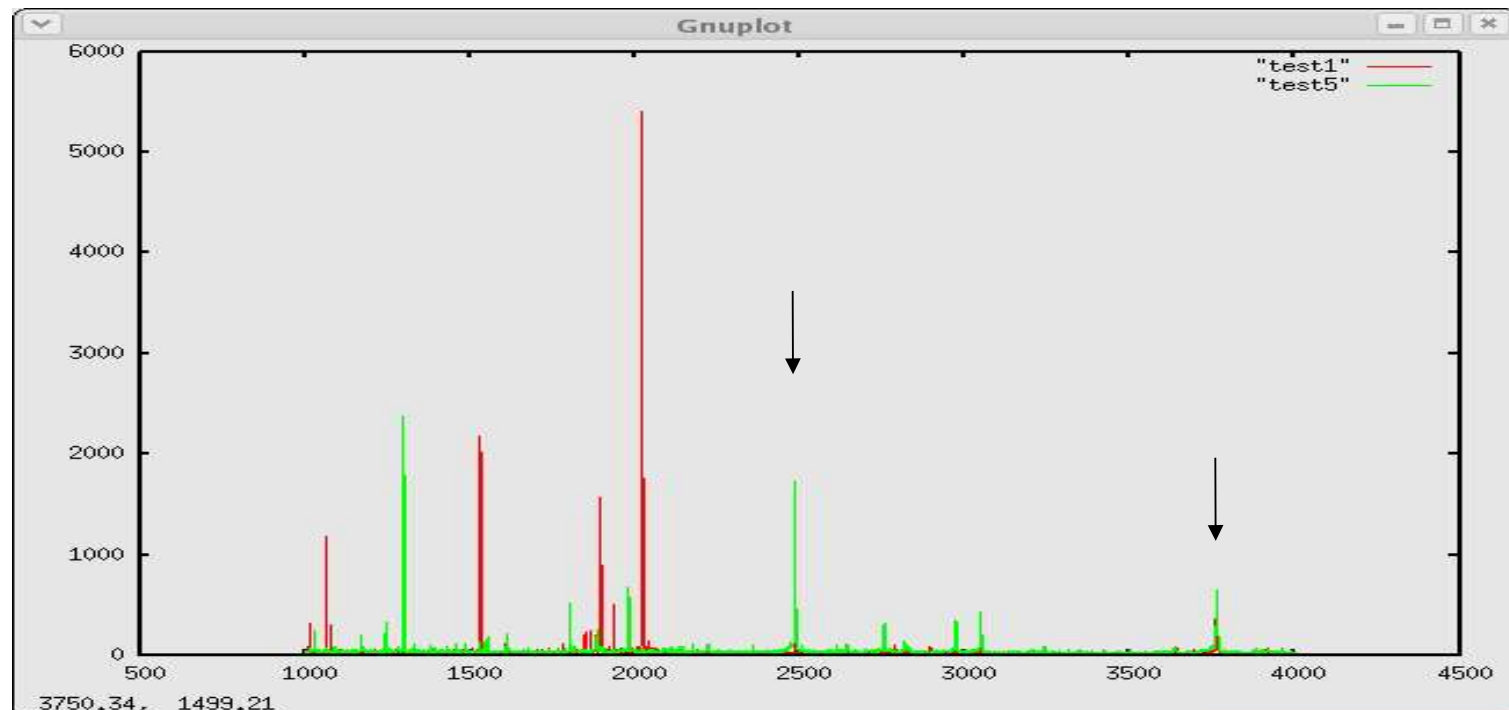
(1,0,1,1,0,0,0,1,0,1,1,1,1,0,1,**1**,0,0,0,0,1)

x

(0,1,0,0,1,1,1,0,1,0,0,0,0,1,0,**1**,1,1,1,1,1)

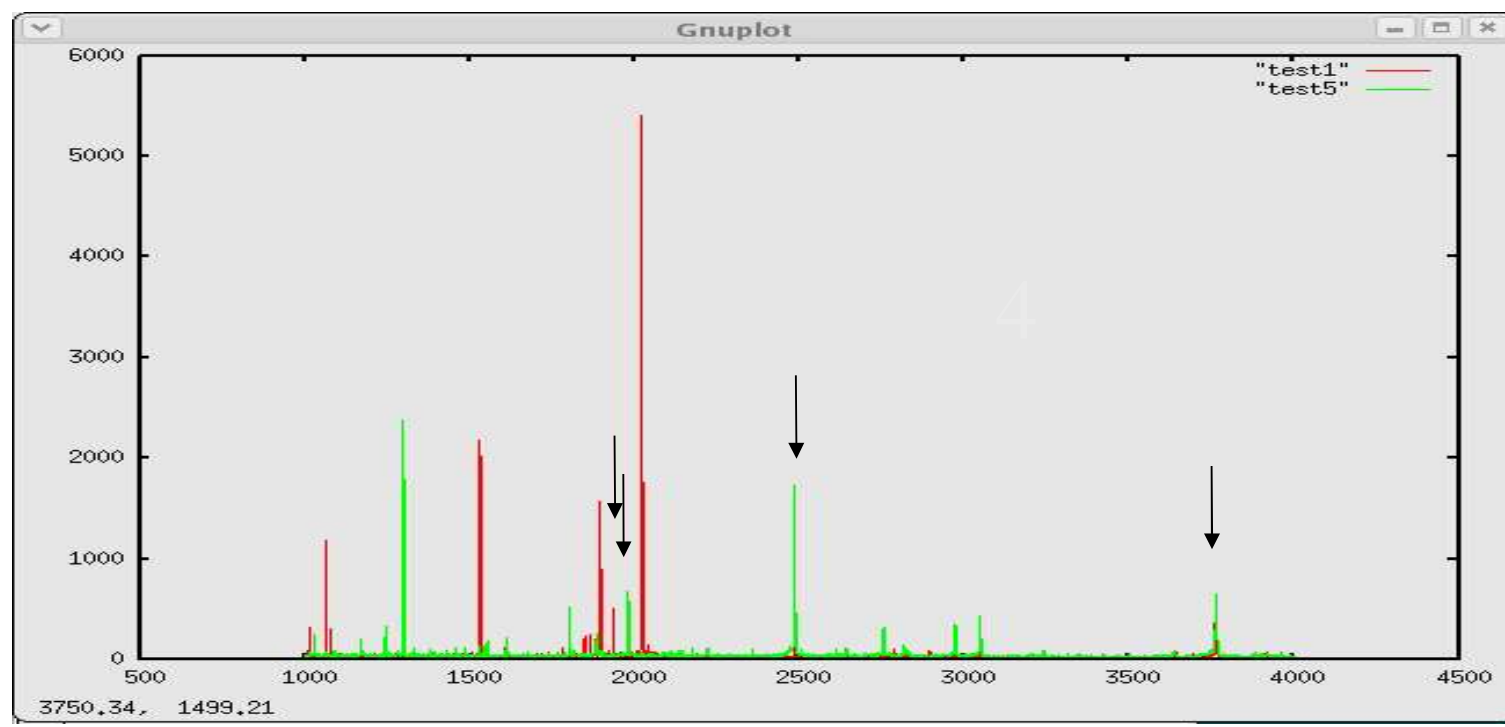
=

**0.00001**

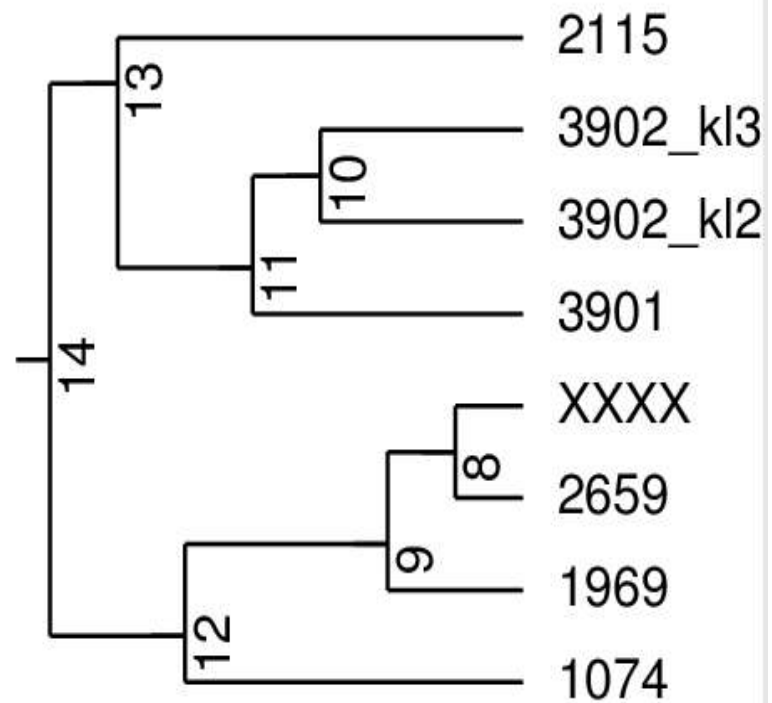
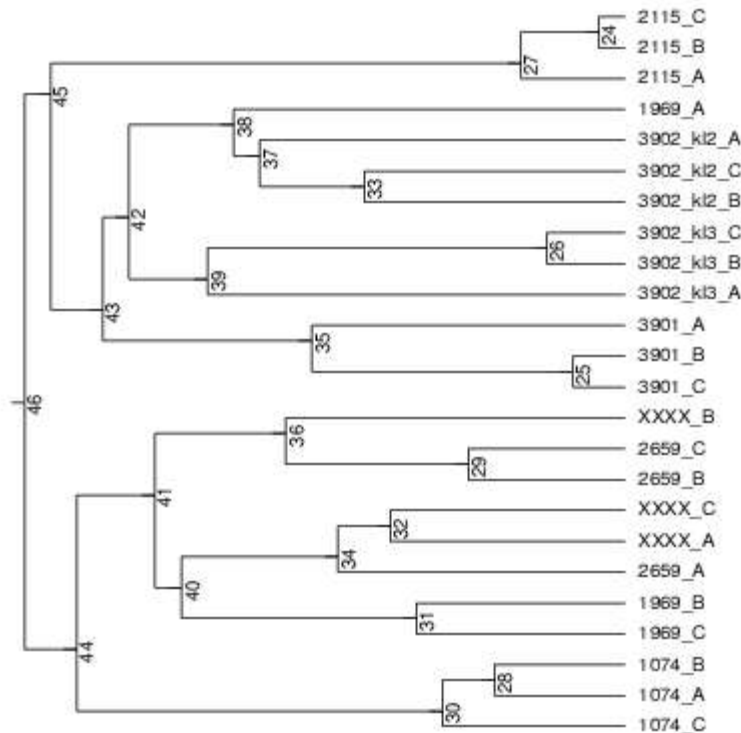


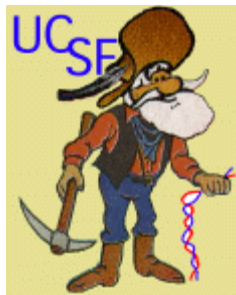
# Možnosti hodnotenia podobnosti spektier

```
const float ptm[NUM_PTMs] = {  
    42.0106,  
    541.0610,  
    -1.0316,  
    -0.9840,  
    634.6628,  
    45.9877118,  
    226.0776,  
    77.9105,  
    72.0211,  
    368.3443,  
    294.1831,  
    0.9840276,  
    162.052823,  
    15.9949146,  
    31.9898292,  
    31.9721,  
    0.9840,
```



# Zhluková analýza získaných spektier s použitím vektorizácie spektier a hodnotenia podobnosti vektorovým súčinom (program CLUTO)





ProteinProspector <http://prospector.ucsf.edu>



GPM <http://gpmdb.thegpm.org>

